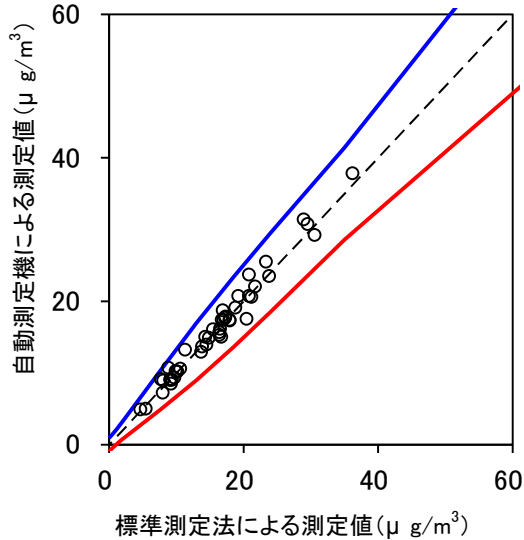


⑦ 1405-DF (Thermo Fisher Scientific)

A : グループごとに P_R を最大化する方法

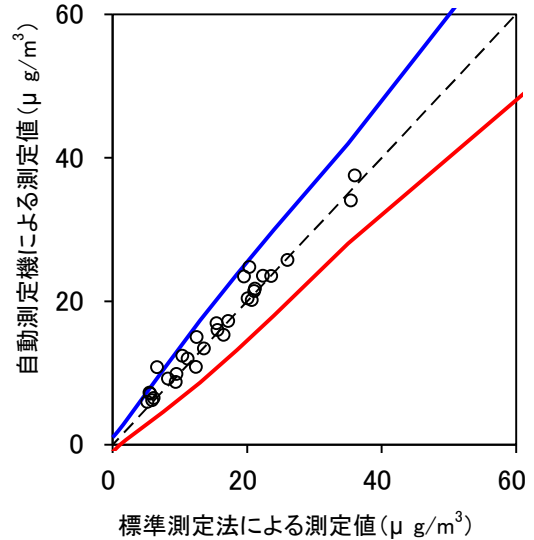
グループ 1 による評価

機種名	1405-DF・夏季
有効測定日数	72
自動測定機の有効データ数	46
ハズレ値の個数	0
r	7
K	1.837
傾き	1.03



1405-DFの夏季における管理限界線との関係

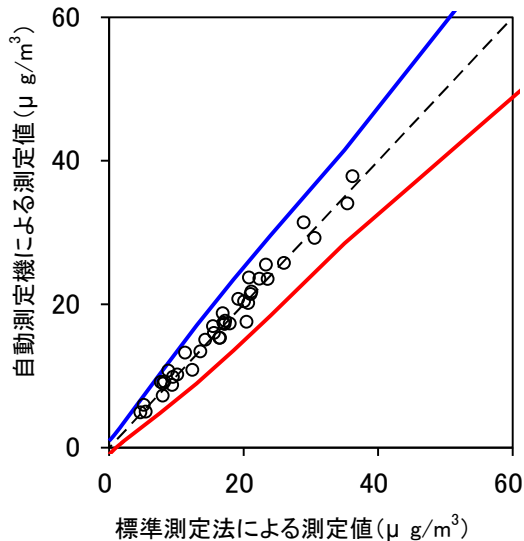
機種名	1405-DF・冬季
有効測定日数	70
自動測定機の有効データ数	29
ハズレ値の個数	1
r	4
K	1.992
傾き	0.97



1405-DFの冬季における管理限界線との関係

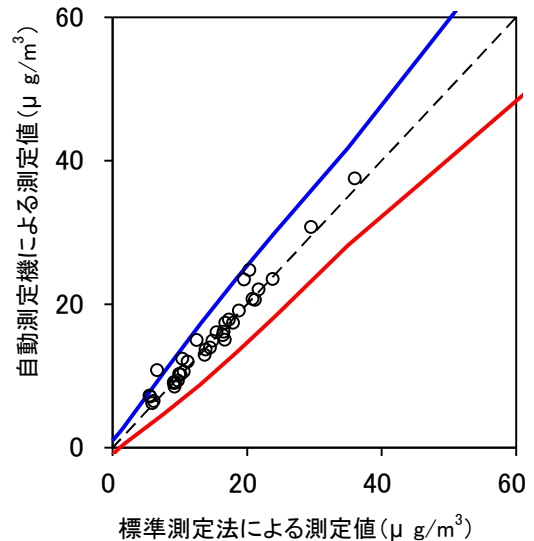
グループ 2 による評価

機種名	1405-DF・都市部
有効測定日数	73
自動測定機の有効データ数	39
ハズレ値の個数	0
r	6
K	1.861
傾き	1.00



1405-DFの都市部における管理限界線との関係

機種名	1405-DF・非都市部
有効測定日数	69
自動測定機の有効データ数	36
ハズレ値の個数	1
r	5
K	1.943
傾き	1.01



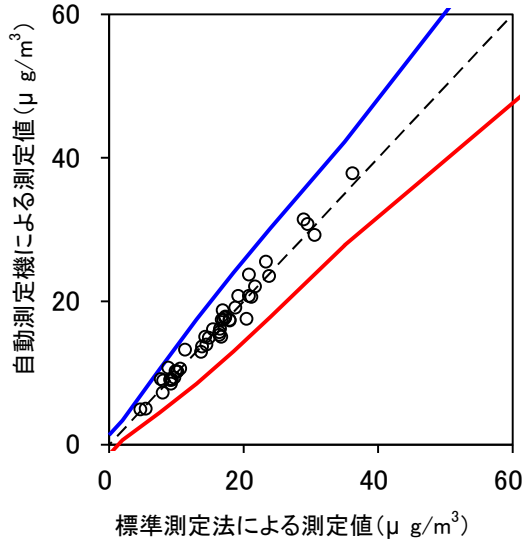
1405-DFの非都市部における管理限界線との関係

B : グループごとに P_R を固定する方法

(1) $\alpha = \alpha'_1$ の場合

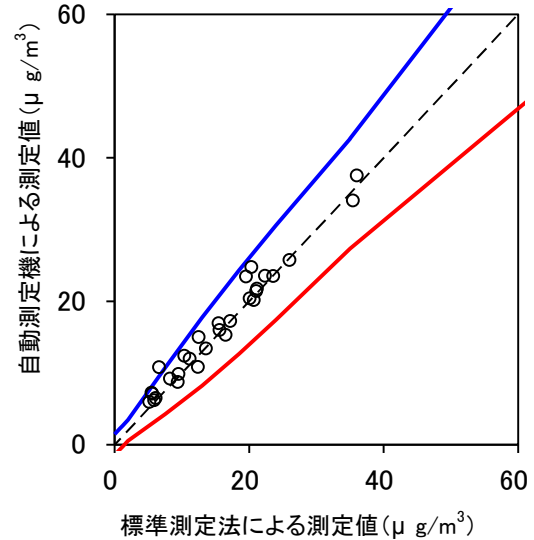
グループ 1 による評価

機種名	1405-DF・夏季
有効測定日数	72
自動測定機の有効データ数	46
ハズレ値の個数	0
r	4
K	2.062
傾き	1.03



1405-DFの夏季における管理限界線との関係

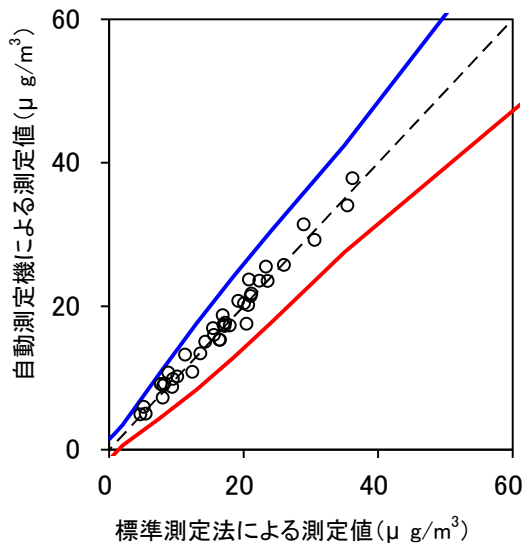
機種名	1405-DF・冬季
有効測定日数	70
自動測定機の有効データ数	29
ハズレ値の個数	1
r	2
K	2.191
傾き	0.97



1405-DFの冬季における管理限界線との関係

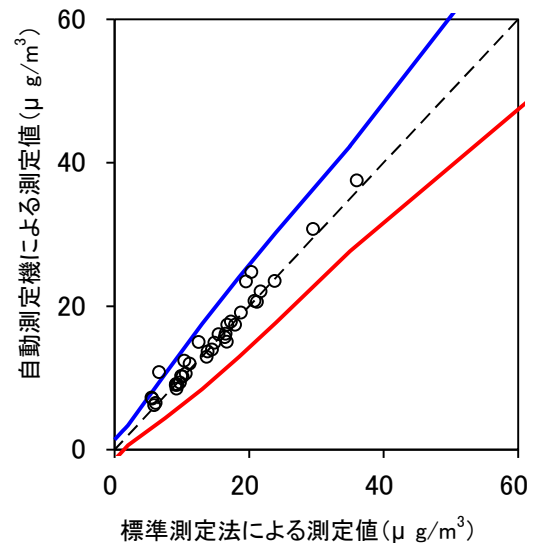
グループ 2 による評価

機種名	1405-DF・都市部
有効測定日数	73
自動測定機の有効データ数	39
ハズレ値の個数	0
r	3
K	2.131
傾き	1.00



1405-DFの都市部における管理限界線との関係

機種名	1405-DF・非都市部
有効測定日数	69
自動測定機の有効データ数	36
ハズレ値の個数	1
r	3
K	2.094
傾き	1.01

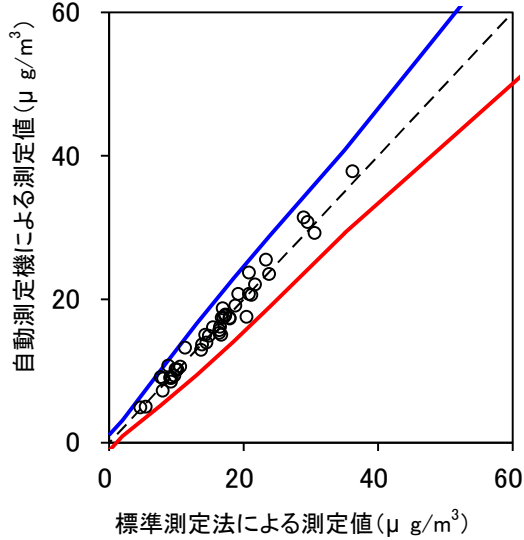


1405-DFの非都市部における管理限界線との関係

(2) $\alpha = \alpha'_2$ の場合

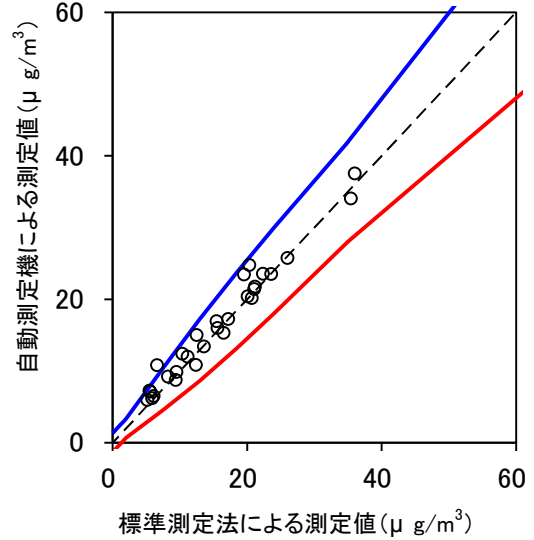
グループ 1 による評価

機種名	1405-DF・夏季
有効測定日数	72
自動測定機の有効データ数	46
ハズレ値の個数	0
r	8
K	1.655
傾き	1.03



1405-DFの夏季における管理限界線との関係

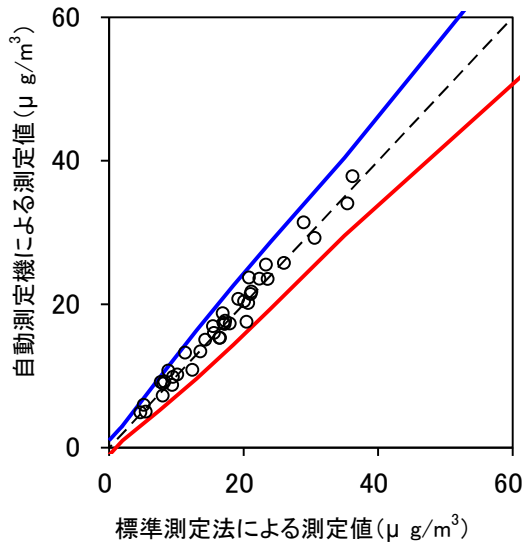
機種名	1405-DF・冬季
有効測定日数	70
自動測定機の有効データ数	29
ハズレ値の個数	1
r	3
K	1.991
傾き	0.97



1405-DFの冬季における管理限界線との関係

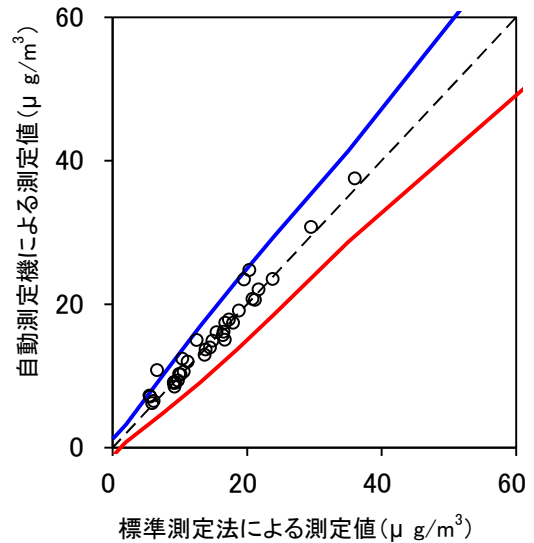
グループ 2 による評価

機種名	1405-DF・都市部
有効測定日数	73
自動測定機の有効データ数	39
ハズレ値の個数	0
r	8
K	1.551
傾き	1.00



1405-DFの都市部における管理限界線との関係

機種名	1405-DF・非都市部
有効測定日数	69
自動測定機の有効データ数	36
ハズレ値の個数	1
r	5
K	1.811
傾き	1.01



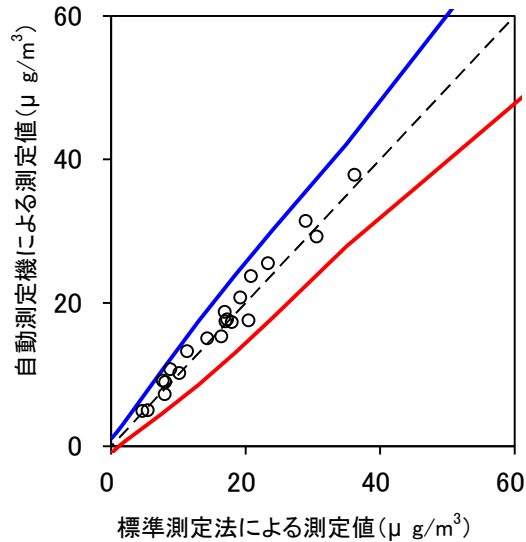
1405-DFの非都市部における管理限界線との関係

C: フィールドごとに P_R を最大化する方法

フィールドごとによる評価

機種名 1405-DF・都市部(夏)

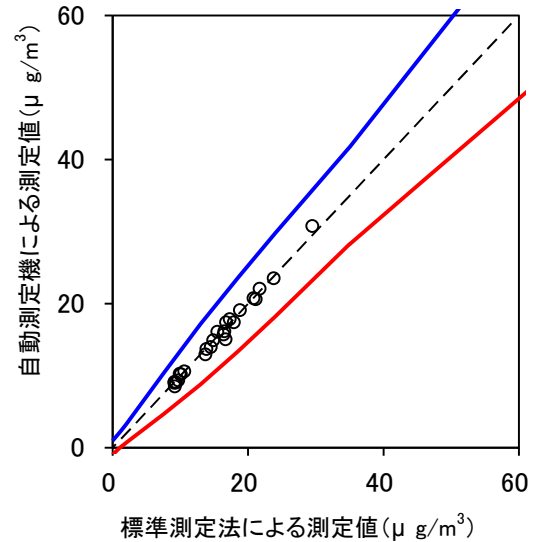
有効測定日数	37
自動測定機の有効データ数	21
ハズレ値の個数	0
r	3
K	2.040
傾き	1.02



1405-DFの都市部(夏)における管理限界線との関係

機種名 1405-DF・非都市部(夏)

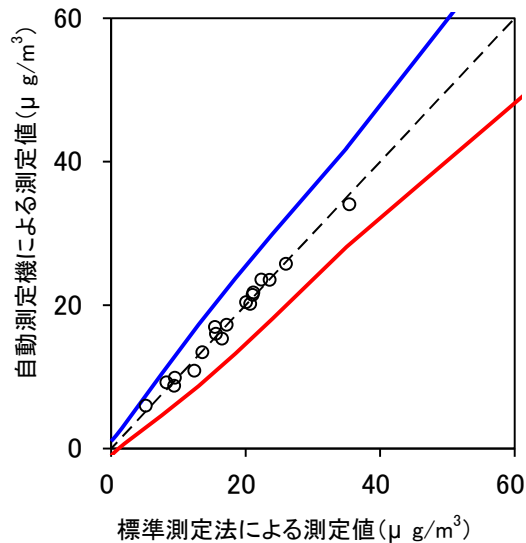
有効測定日数	35
自動測定機の有効データ数	25
ハズレ値の個数	0
r	4
K	1.925
傾き	1.03



1405-DFの非都市部(夏)における管理限界線との関係

機種名 1405-DF・都市部(冬)

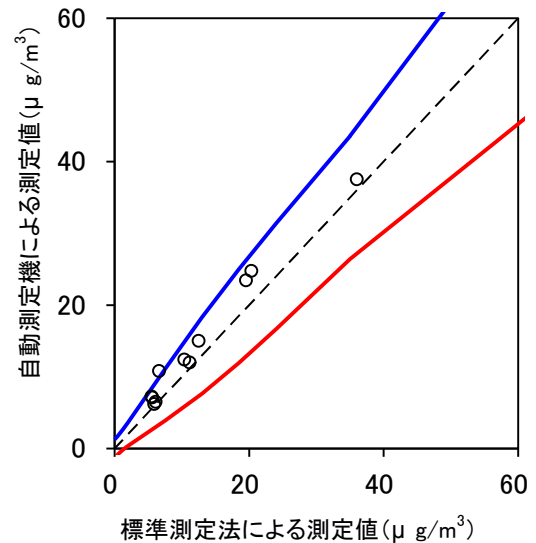
有効測定日数	36
自動測定機の有効データ数	18
ハズレ値の個数	0
r	3
K	1.970
傾き	0.97



1405-DFの都市部(冬)における管理限界線との関係

機種名 1405-DF・非都市部(冬)

有効測定日数	34
自動測定機の有効データ数	11
ハズレ値の個数	1
r	1
K	2.456
傾き	1.04



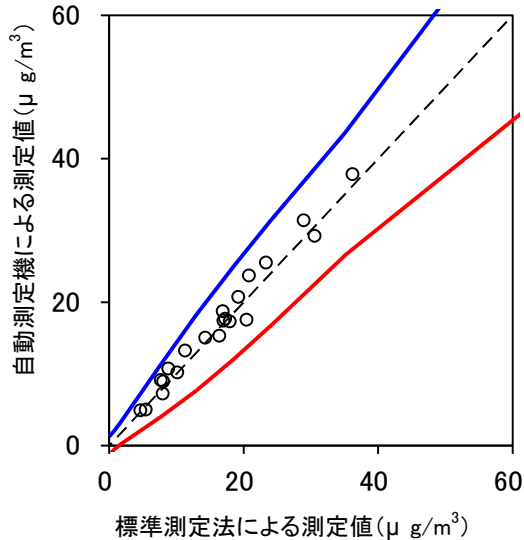
1405-DFの非都市部(冬)における管理限界線との関係

D: フィールドごとに PR を固定する方法

(1) $\alpha = \alpha'_1$ の場合

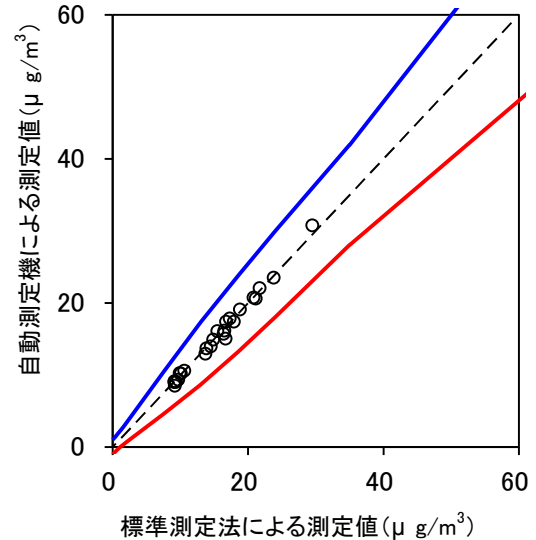
フィールドごとによる評価

機種名 1405-DF・都市部(夏)	
有効測定日数	37
自動測定機の有効データ数	21
ハズレ値の個数	0
r	1
K	2.440
傾き	1.02



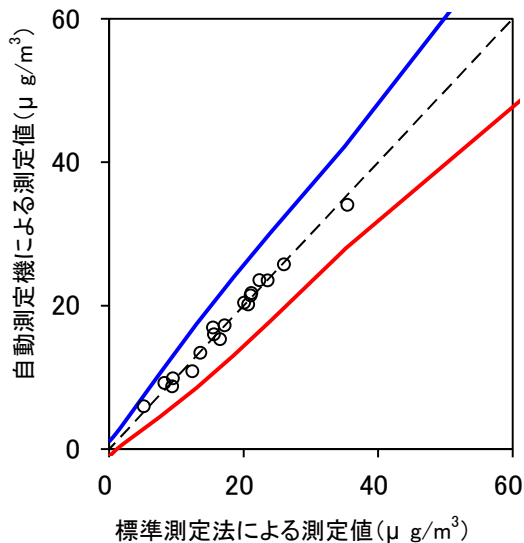
1405-DFの都市部(夏)における管理限界線との関係

機種名 1405-DF・非都市部(夏)	
有効測定日数	35
自動測定機の有効データ数	25
ハズレ値の個数	0
r	3
K	1.988
傾き	1.03



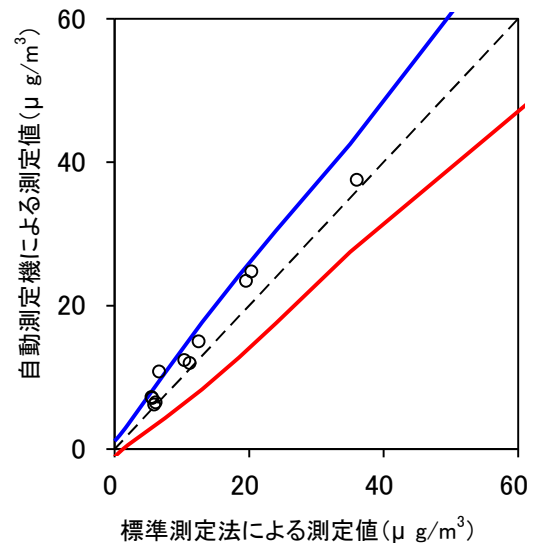
1405-DFの非都市部(夏)における管理限界線との関係

機種名 1405-DF・都市部(冬)	
有効測定日数	36
自動測定機の有効データ数	18
ハズレ値の個数	0
r	2
K	2.052
傾き	0.97



1405-DFの都市部(冬)における管理限界線との関係

機種名 1405-DF・非都市部(冬)	
有効測定日数	34
自動測定機の有効データ数	11
ハズレ値の個数	1
r	1
K	2.150
傾き	1.04

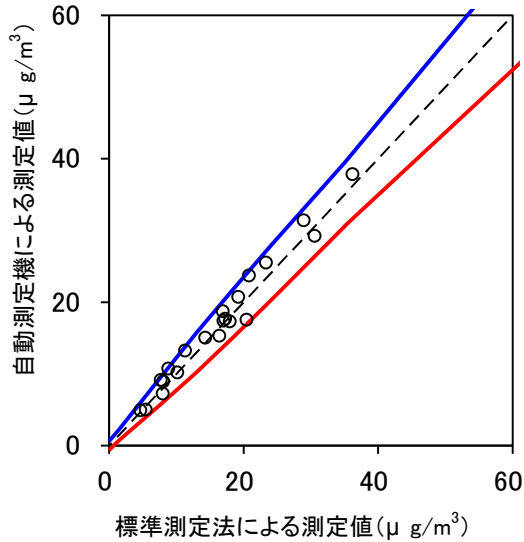


1405-DFの非都市部(冬)における管理限界線との関係

(2) $\alpha = \alpha'_2$ の場合

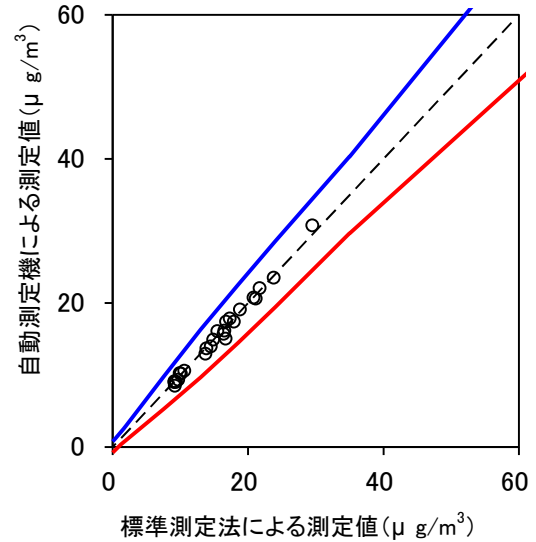
フィールドごとによる評価

機種名 1405-DF・都市部(夏)	
有効測定日数	37
自動測定機の有効データ数	21
ハズレ値の個数	0
r	7
K	1.267
傾き	1.02



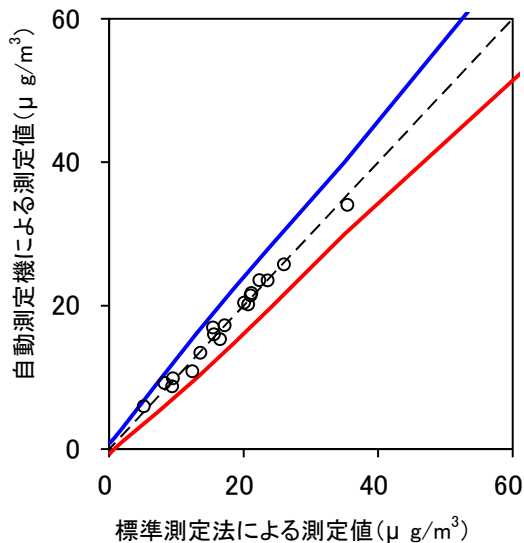
1405-DFの都市部(夏)における管理限界線との関係

機種名 1405-DF・非都市部(夏)	
有効測定日数	35
自動測定機の有効データ数	25
ハズレ値の個数	0
r	6
K	1.522
傾き	1.03



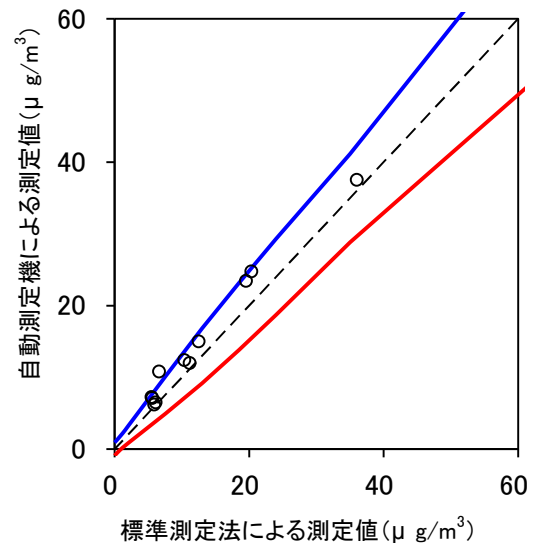
1405-DFの非都市部(夏)における管理限界線との関係

機種名 1405-DF・都市部(冬)	
有効測定日数	36
自動測定機の有効データ数	18
ハズレ値の個数	0
r	5
K	1.433
傾き	0.97



1405-DFの都市部(冬)における管理限界線との関係

機種名 1405-DF・非都市部(冬)	
有効測定日数	34
自動測定機の有効データ数	11
ハズレ値の個数	1
r	2
K	1.764
傾き	1.04



1405-DFの非都市部(冬)における管理限界線との関係